

Асимптотики двумерных длинных волн в
бассейне переменной глубины, порожденных
движущимся по дну локализованным
ИСТОЧНИКОМ

Анна Цветкова

Институт проблем механики им. А.Ю. Ишлинского РАН

совместно с С.Ю. Доброхотовым и П.Н. Петровым

"Волны цунами: моделирование, мониторинг, прогноз",
17 ноября 2021 г.

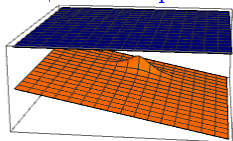
Постановка задачи

Рассмотрим бесконечный слой жидкости \mathcal{D} переменной глубины

$$\mathcal{D} = \{0 \geq z \geq -D(\mathbf{x}), \mathbf{x} = (x_1, x_2) \in \mathbb{R}^2\}, \quad (1)$$

т.е. дно бассейна определяется уравнением $z = -D(\mathbf{x})$ ($D(\mathbf{x}) > 0$).

Будем изучать **эволюцию свободной поверхности, вызванную**
меняющимся во времени участком дна



$$z = -D(\mathbf{x}) + D_1(\mathbf{x}, t), \quad D_1(\mathbf{x}, t) \ll D(\mathbf{x}). \quad (2)$$

Предполагаем, что **источник локализован и действует в течение**
небольшого промежутка времени

$$D_1 = f\left(\frac{\mathbf{x} - \boldsymbol{\xi}(t)}{l}, t\right), \quad (3)$$

где $\boldsymbol{\xi}(t)$ – гладкая вектор-функция, которая определяет траекторию возмущения, l – размер области локализации.

Некоторые работы

- E. Pelinovsky, A. Poplavsky (1996)
модель генерации цунами
- S. Tinti, E. Bortolucci, C. Chiavettieri (2001)
модель и аналитическое решение
- G. Papadopoulos et al (2007)
численный подход
- S. Beizel, L. Chubarov, G. Khakimzianov (2011)
модель и численный расчет
- I. Didenkulova, E. Pelinovsky (2010, 2013)
аналитические решения
- S. Dobrokhotov, P. Petrov (2019)
ПДУ, одномерный случай

Псевдодифференциальное уравнение

Задача сводится к следующей задаче Коши для псевдодифференциального уравнения

$$\frac{\partial^2 \eta}{\partial t^2} + \hat{L}\eta = \frac{\partial^2 V}{\partial t^2}, \quad \eta|_{t=0} = 0, \quad \frac{\partial \eta}{\partial t} \Big|_{t=0} = 0, \quad (4)$$

где

$$\hat{L} = L\left(\frac{2}{x}, \frac{\hat{p}^1 + \hat{p}^3}{2}\right), \quad L = g|p| \tanh(|p|D(x)), \quad \hat{p} = -i\nabla = -i\left(\frac{\partial}{\partial x_1}, \frac{\partial}{\partial x_2}\right), \quad (5)$$

функция $V(x, t)$ связана с возмущением D_1 следующим образом

$$V = \hat{R}D_1, \quad \hat{R} = R\left(\frac{2}{x}, \frac{\hat{p}^1 + \hat{p}^3}{2}\right), \quad R(x, p) = \frac{1}{\cosh(D(x)|p|)}. \quad (6)$$

[.] S.Yu. Dobrokhotov, V.E. Nazaikinskii. "Waves on the free surface described by linearized equations of hydrodynamics with localized right-hand sides." Rus. J. Math. Phys., Vol. 25, No. 1, 2018, pp. 1-16.

Одномерный случай

$$D_1 = \frac{\gamma(t)}{b(t)} e^{-\frac{(x-\xi(t))^2}{2l^2 b^2(t)}}, \quad (7)$$

$\gamma(t)$ – объем оползня, $\xi(t)$ – траектория движения источника.
Источник движется время t_1 .

Результат:

- Образуется длинная волна. Характерная длина волны $\sqrt{gD}t_1$
- Асимптотическое решение при $t > t_1$

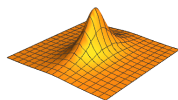
$$\eta(x, t) \sim \sum_{\pm} \sqrt{\frac{c_0}{c(\mathcal{X}^{\pm}(t))}} F^{\pm} \left(\frac{c_0}{c(\mathcal{X}^{\pm}(t))} (x - \mathcal{X}^{\pm}(t)) \right), \quad (8)$$

$$F^{\pm}(x) = \frac{\partial}{\partial \tau} \left(\frac{\sqrt{\pi l} \gamma(\tau)}{c + \dot{X}_D(\tau)} \right) \Bigg|_{\tau=\tau^{\pm}(x, t_1)}, \quad X_D(\tau) = \xi(\tau/t_1),$$

\mathcal{X}^{\pm} – решение уравнения $\dot{x} = \sqrt{gD(x)}$ с начальным условием $x^{\pm}|_{t=t_1} = \pm c_0 t_1$, $\tau^{\pm}(x, t_1) = \frac{ct_1 \pm x}{c} \pm \frac{1}{c} \xi \left(\frac{ct_1 \pm x}{ct_1} \right)$.

Двумерный случай. Источник

$$D_1 = f\left(\frac{x - \xi(t)}{l}, t\right).$$



Источник будем моделировать функцией

$$f = g\left(T(\phi(t))y, t\right), \quad g(z, t) = \frac{\gamma(t)}{b_1(t)b_2(t) \left(1 + \frac{z_1^2}{b_1^2(t)} + \frac{z_2^2}{b_2^2(t)}\right)^{3/2}}, \quad (9)$$

- $\gamma(t)$ – гладкая функция, такая что $\gamma(t) = \gamma_1$ при $t < 0$ и $\gamma(t) = \gamma_2$ при $t > t_1$ (характеризует объем оползня)
- $b_1(t), b_2(t)$ – гладкие функции (в сечении эллипс с осями b_1, b_2)
- $T(\phi(t))$ – 2×2 матрица поворота на угол $\phi(t)$ (угол поворота эллипса)
- $\xi(t)$ – траектория движения источника

$$\xi(t) = \log\left(\cosh\left(\frac{2t}{t_1}\right)\right) \mathbf{q}\left(\frac{t}{t_1}\right) \quad \text{или} \quad \xi(t) = \frac{\left(1 + \tanh\left(\frac{4t-2t_1}{t_1}\right)\right)}{2} \mathbf{q}\left(\frac{t}{t_1}\right),$$

где $\mathbf{q}(\tau)$ – вектор, лежащий на единичной окружности.

Принцип Дюамеля

Поскольку время действия источника конечное, то при $t > t_1$

$$\eta(x, t) = \eta_1(x, t) + \frac{\partial}{\partial t} \eta_2(x, t), \quad (10)$$

где $\eta_{1,2}$ – решения задач

$$\frac{\partial^2 \eta_{1,2}}{\partial t^2} + \hat{L} \eta_{1,2} = 0 \quad (11)$$

с соответственно начальными условиями

$$\eta_1|_{t=0} = \operatorname{Re}[W(x)], \quad \frac{\partial \eta_1}{\partial t} = 0 \quad \text{и} \quad \eta_2|_{t=0} = \frac{1}{\hat{L}} \operatorname{Im}[W(x)], \quad \frac{\partial \eta_2}{\partial t} = 0. \quad (12)$$

$$W(x) = \int_0^{t_1} e^{-i\hat{L}\tau} \frac{\partial V}{\partial \tau}(x, \tau) d\tau = \frac{\partial}{\partial \alpha} \int_0^{t_1} e^{-i\hat{L}\tau} V(x, \tau + \alpha) d\tau \Big|_{\alpha=0}, \quad \hat{L} = \sqrt{\hat{L}}. \quad (13)$$

Эквивалентный источник

Мы "поднимаем" источник на поверхность. При этом его приближенно можно заменить на эквивалентный. А именно,

$$V = \hat{R}D_1, \quad \hat{R} = \frac{1}{\cosh(D(x)|\hat{p}|)}, \quad D_1 = f\left(\frac{x - \xi(t)}{l}, t\right) \Rightarrow \quad (14)$$

$$V^{\text{ap}} = \tilde{f}\left(\frac{x - \xi(t)}{l}, t\right), \quad \tilde{f} = \frac{\gamma(t)}{\tilde{b}_1 \tilde{b}_2 \left(1 + \frac{z_1^2}{\tilde{b}_1^2} + \frac{z_2^2}{\tilde{b}_2^2}\right)^{3/2}}, \quad \tilde{b}_i = b_i + \frac{D_0}{2l} \quad (15)$$

Это связано с тем, что Фурье-образы этих функций схожи

$$\hat{V}(\varrho \cos \psi, \varrho \sin \psi, t) = \gamma(t) \exp \left(-|\varrho| \sqrt{b_1^2 \cos^2(\phi - \psi) + b_2^2 \sin^2(\phi - \psi)} \right) \frac{1}{\cosh(D\varrho/l)}, \quad (16)$$

$$\hat{V}^{\text{ap}}(\varrho \cos \psi, \varrho \sin \psi, t) = \gamma(t) \exp \left(-|\varrho| \sqrt{\left(b_1 + \frac{D}{2l}\right)^2 \cos^2(\phi - \psi) + \left(b_2 + \frac{D}{2l}\right)^2 \sin^2(\phi - \psi)} \right) \quad (17)$$

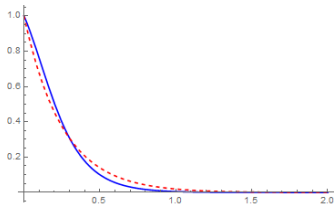


Figure: Синей сплошной линией изображен Фурье-образ \hat{V} , красным пунктиром – Фурье-образ \hat{V}^{ap} в зависимости от ϱ при фиксированном ψ .

Ответ через канонический оператор

Окончательно получаем, что решение η при $t > t_1$ имеет вид

$$\eta(x, t) = \frac{\sqrt{I}}{\sqrt{2\pi}} \cdot$$

$$\cdot \operatorname{Re} \left(e^{-\frac{i\pi}{4}} \int_0^\infty K_{\Lambda^t}^{1/\varrho} \left[\sqrt{\varrho} \frac{\partial}{\partial \alpha} \int_0^{t_1} e^{i \sqrt{\frac{g\varrho}{1}} \tanh\left(\frac{\varrho D(x(r, \psi))}{1}\right) \tau} A_1^{\text{ap}}(\varrho, \psi, \tau + \alpha) d\tau \right]_{\alpha=0} \right) d\varrho, \quad (18)$$

где

$$A_1^{\text{ap}}(\varrho, \psi, t) = \gamma(t) \exp \left(-i < \beta, \frac{\xi(t) - \xi(t_1/2)}{1} > \right). \quad (19)$$

$$\exp \left(-\varrho \sqrt{\cos^2(\phi(t) - \psi) \left(b_1(t) + \frac{1}{2} \frac{D_0}{1} \right)^2 + \sin^2(\phi(t) - \psi) \left(b_2(t) + \frac{1}{2} \frac{D_0}{1} \right)^2} \right), \quad (20)$$

а Λ^t получено сдвигом

$$\Lambda^0 = \{p = p(\psi) = n(\psi), \quad x = x(r, \psi) = \xi(t_1/2) + rn(\psi)\}$$

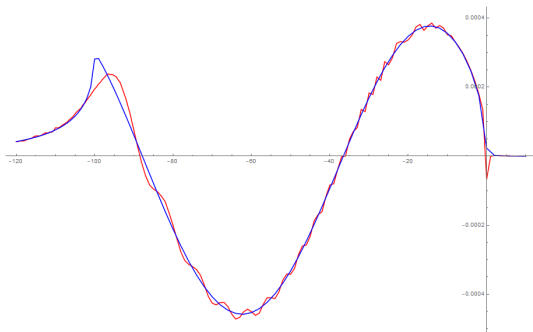
вдоль траекторий гамильтоновой системы с гамильтонианом

$$\mathcal{L} = \sqrt{g|p| \tanh(D(x)|p|)}. \quad (21)$$

Волновое уравнение

Анализируя аналитическое выражение, а также основываясь на численном сравнении, предполагаем, что можно рассматривать волновое уравнение

$$\frac{\partial^2 \eta}{\partial t^2} - \nabla c^2(x) \nabla \eta = \frac{\partial^2 V}{\partial t^2}, \quad \eta|_{t=0} = 0, \quad \left. \frac{\partial \eta}{\partial t} \right|_{t=0} = 0. \quad (22)$$



Синяя линия – профиль для волнового уравнения, красная – для псевдодифференциального

Для волнового уравнения решение можно упростить.

В окрестности неособой точки фронта оно представляется в виде

$$\eta(x, t) = \frac{\sqrt{I}}{\sqrt{|X_\psi|}} \sqrt{\frac{c(\xi(t_1/2))}{c(X(\psi, t))}} \operatorname{Re} \left(F \left(\frac{S(x, t)}{I}, \psi \right) \right) \Big|_{\psi=\psi(x, t)}, \quad (23)$$

$$F(z, \psi) = \frac{1}{\sqrt{2\pi}} \int_0^\infty \sqrt{\varrho} e^{iz\varrho} \frac{\partial}{\partial \alpha} \int_0^{t_1} e^{i\tau \frac{c(x)\varrho}{I}} A_1^{\text{ap}}(\varrho, \psi, \tau + \alpha) d\tau \Big|_{\alpha=0} d\varrho, \quad (24)$$

$$S(x, t) = \langle P(\psi(x, t), t), y(x) \rangle, \quad y(x) - \text{расстояние до фронта.} \quad (25)$$

Фронт определяется функциями $X(\psi, t)$, $P(\psi, t)$, которые являются решениями системы Гамильтона с гамильтонианом

$$H = c(x)|p| \quad (26)$$

и начальными условиями

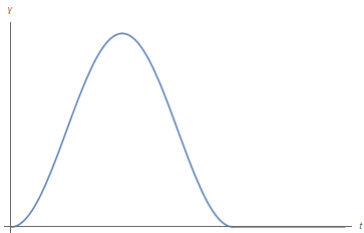
$$x|_{t=0} = \xi(t_1/2), \quad p|_{t=0} = n(\psi). \quad (27)$$

Поскольку действие источника мало, то при $t < t_1$ можно рассмотреть волновое уравнение с "замороженной" скоростью $c(x) = c_0 = c(\xi(t_1/2))$. В этом случае упрощается вид функции профиля

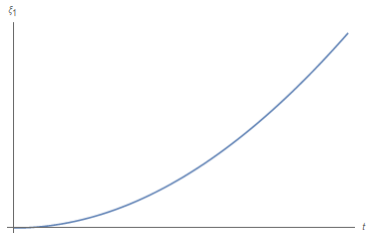
$$F(z, \psi) = \frac{1}{2\sqrt{2}} \frac{\gamma(\tau)}{(\sqrt{B^{ap}(\tau, \psi)} - \frac{ic_0\tau}{1} - iz - \frac{i}{1} \langle n(\psi), \xi(t_1/2) - \xi(\tau) \rangle)^{3/2}} \Bigg|_{\tau=0}^{\tau=t_1} -$$

$$- \frac{3i}{4l\sqrt{2}} \int_0^{t_1} \frac{c_0\gamma(\tau)d\tau}{(\sqrt{B^{ap}(\tau, \psi)} - \frac{ic_0\tau}{1} - iz - \frac{i}{1} \langle n(\psi), \xi(t_1/2) - \xi(\tau) \rangle)^{5/2}}, \quad (28)$$

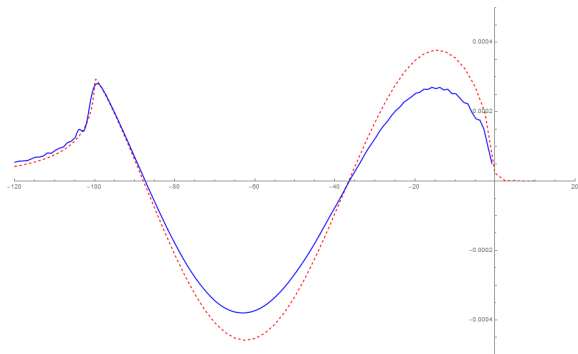
$$B^{ap}(\tau, \psi) = \cos^2(\phi(\tau) - \psi) \left(b_1(\tau) + \frac{1}{2} \frac{D_0}{1} \right)^2 + \sin^2(\phi(\tau) - \psi) \left(b_2(\tau) + \frac{1}{2} \frac{D_0}{1} \right)^2. \quad (29)$$



Функция $\gamma(t) = 1 - \cos\left(\frac{2\pi t}{t_1}\right)$ –
объем оползня

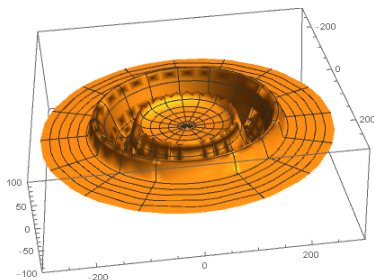


Функция $\xi(t) = \log\left(\cosh\frac{5t}{t_1}\right)$ –
траектория движения



Синяя линия – численное решение для волнового уравнения, красный пунктир – асимптотика в случае $b_1 = b_2 = 1$, $\phi = 0$, $\psi = 0$, $l = 0.08$

Поршневая модель



Вопрос: Можно ли и при каких условиях заменить исходную модель на поршневую модель с эквивалентным источником?

Спасибо за внимание!